

Suelos sobre depósitos fluvio-glaciales: alfisol del Pla de Malamort (Bolvir)

PERFIL CER'99-2

Descrito por: J.Boixadera, R.M. Poch

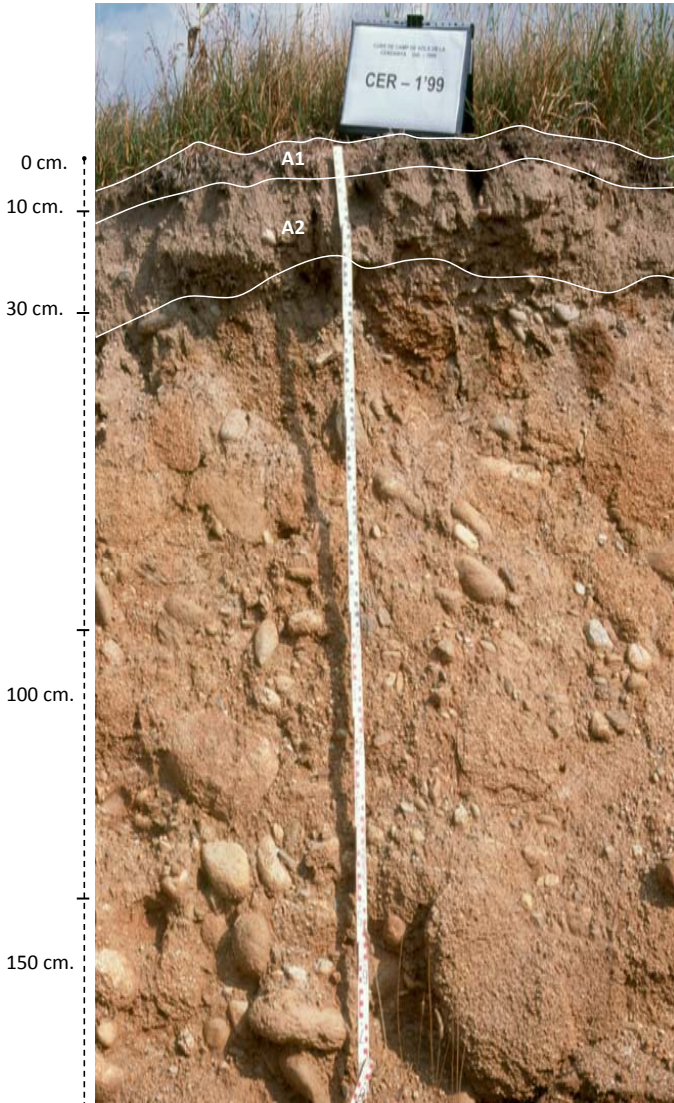


Figura 11. Detalle del perfil CER-1'99 donde se aprecia claramente la meteorización del granito y situado a unos 500 m del perfil CER'99-2. (Autora: RM Poch)

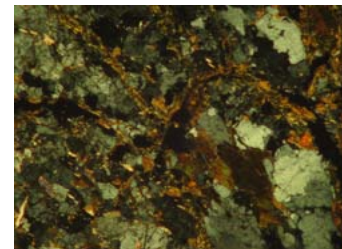
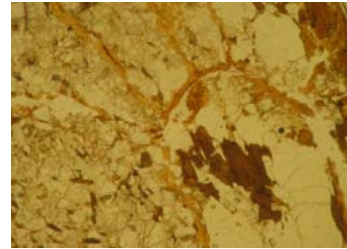


Figura 1 y 2: Fragmentos de biotita alterada a clorita dentro de un elemento grueso. Longitud fotografía: 2,8 mm.

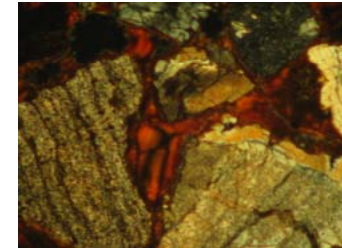
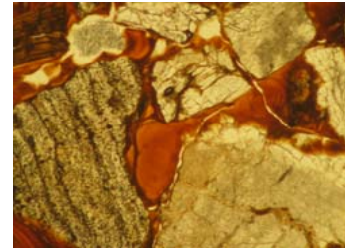


Figura 3 y 4: Relleno microlaminado de arcilla iluviada en un poro de empaquetamiento. Longitud fotografía 2,1 mm

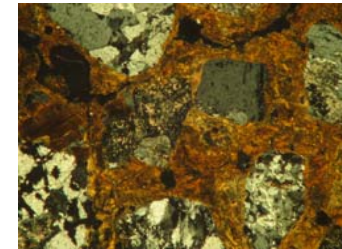
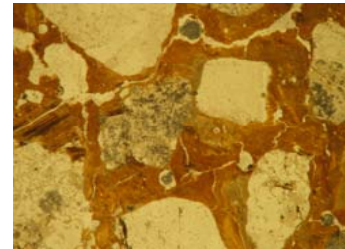


Figura 5 y 6: Rellenos microlaminados de arcilla iluviada. Nótese que todo el material fino está en forma de edaforrasgo de iluviación. Longitud fotografía: 4,2 mm.

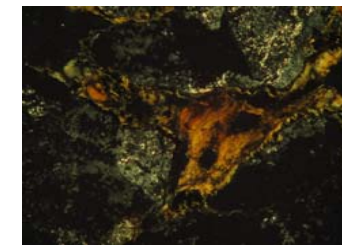
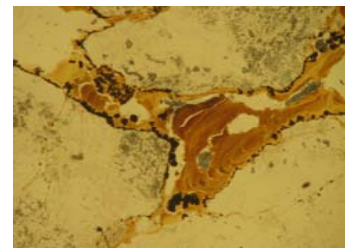


Figura 7 i 8: Relleno microlaminado de arcilla iluviada en un poro de empaquetamiento, superpuesto a un revestimiento de óxidos de manganeso. Longitud fotografía: 4,2 mm.

O: (-1/0 – 0 cm.)

A1: COLOR: 10 R 5/4 (húmedo). ELEMENTOS GRUESOS: muy frecuentes (16-35%), cuarcitas. ESTRUCTURA: granular porosa. **Epipedión Ocrico.**

A2: COLOR: 10 R 5/4 (húmedo). ELEMENTOS GRUESOS: abundantes. ESTRUCTURA: débil, en bloques subangulares. **Epipedión Ocrico.**

2Bt1: EST. DE OXIDOREDUCCIÓN: Oxidación. ELEMENTOS GRUESOS: muy abundantes (70-90%), depósito sostenido por el esqueleto, de gravillas a bloques > 1 m, rodados, granitos muy alterados pero con biotitas reconocibles y feldspatos muy alterados, esquistos medianamente alterados y gneis. ESTRUCTURA: Sin estructura por la abundancia de elementos gruesos. ESTUDIO DE SUPERFICIES: Pocos revestimientos de material fino asociados a los elementos gruesos. **Endopedión argílico.**

2Bt2: ELEMENTOS GRUESOS: muy abundantes (70-90%), depósito sostenido por el esqueleto, de gravillas a bloques > 1 m, rodados, granitos muy alterados pero con biotitas reconocibles y feldspatos muy alterados, esquistos medianamente alterados y gneis. ESTRUCTURA: Sin estructura por la abundancia de elementos gruesos. SISTEMA RADICULAR: Limitado por materiales esqueléticos, raíces gruesas. ESTUDIO DE SUPERFICIES: Pocos revestimientos de material fino asociados a la superficie exterior e interior (planos de fractura) de los elementos gruesos. **Endopedión argílico.**

3Btg3: EST. DE OXIDOREDUCCIÓN: Oxidación. MANCHAS: muy abundantes (>50%), asociadas a los elementos gruesos, de alteración (oxido-reducción), color 2,5 YR 2/1 (húmedo). ELEMENTOS GRUESOS: muy abundantes (70-90%), depósito sostenido por el esqueleto, gravillas y gravas. TEXTURA: Arcillosa. ESTRUCTURA: Sin estructura por la abundancia de elementos gruesos. POROSIDAD: muy alta, quedan espacios vacíos entre los granos de arena. ESTUDIO DE SUPERFICIES: revestimientos de arcilla i limo, continuos, haciendo puentes entre los granos de arena. **Endopedión argílico.**

(SSS, 2010) *Paleustalf típico*
(WRB, 2006) *Luvisol cutánico (rúptico, hypereutrico, esquelético)*

Suelos sobre depósitos fluvio-glaciales:
 alfisol del Pla de Malamort (Bolvir)

Análisis de laboratorio del PERFIL CER'99-2

Horizonte genético	Profundidad (cm)	GRANULOMETRÍA (%)							Clase textural	CIC cmol+/Kg
		Arena (Ø en mm)			Limo (Ø en mm)			Arcilla <0,002 mm		
		2 0,5	0,5 0,05	Total 2 0,05	0,05 0,02	0,02 0,002	Total 0,05 0,002			
A ₁	0-10	32.17	36.84	69.02	12.83	11.22	24.06	6.93	FAr	6.3
A ₂	10 - 35	33.60	32.26	65.86	8.36	12.29	20.64	13.50	FAr	5.3
2Bt ₁	35-95	29.92	37.22	67.15	6.18	8.96	15.14	17.71	FAr	4.8
2Bt ₂	95-160	35.30	33.63	68.93	4.45	4.83	9.28	21.79	FAGAr	6.0
3Btg ₃	160-170	36.68	29.83	66.52	6.39	6.19	12.58	20.90	FAGAr	6.2

Análisis de laboratorio de la fracción sin arcillas

Horizonte genético	Profundidad (cm)	GRANULOMETRÍA DE LA FRACCIÓN SIN ARCILLAS (%)					
		Arena (Ø en mm)			Limo (Ø en mm)		
		2,00 0,05	0,5 0,05	Total 2,00 0,05	0,05 0,02	0,02 0,002	Total 0,05 0,002
A ₁	0-10	34.6	39.6	74.2	13.8	12.1	25.9
A ₂	10-35	38.8	37.3	76.1	9.7	14.2	23.9
2Bt ₁	35-95	36.4	45.2	81.6	7.5	10.9	18.4
2Bt ₂	95-160	45.1	43.0	88.1	5.7	6.2	11.9
3Btg ₃	160-170	46.4	37.7	84.1	8.1	7.8	15.9

Mineralogía de arcillas

(difracción de Rayos X, Plana y Elvira, 2002)

Horizonte genético	Profundidad (cm)	Mineralogía de arcillas (%)				
		Cl	K	I	Sm	I/Sm
A ₁	0-10	1	6	76	1	16
A ₂	10 - 35	1	4	83	1	12
2Bt ₁	35-95	-	4	80	1	15
3Btg ₃	160-170	1	5	75	3	15